



SEMMELWEIS EGYETEM

Biofizikai és Sugárbiológiai Intézet,
Nanokémiai Kutatócsoport



Makromolekulák hajlékonyságát meghatározó
tényezők és az entrópia rugalmasság

Zrínyi Miklós

egyetemi tanár, az MTA rendes tagja
mikloszrinyi@gmail.com

2017

Szilárd testek rugalmassága

Ha egy testre erő hat

helyváltozás

alakváltozás

DEFORMÁCIÓ

R u g a l m a s t a n s
rugalmasság tan



Viszkózus
reológia



A mechanikai viselkedés viszonylagossága

Deborah-szám

$$D_e = \frac{\tau}{t}$$

Feszültség relaxációs idő
Megfigyelés ideje

$D_e >> 1$

$D_e \sim 1$

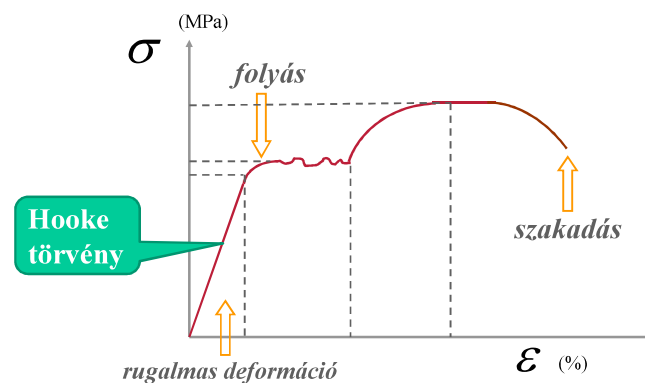
$D_e << 1$

szilárd

viszkoelasztikus

folyékony

Fémek feszültség – deformáció kapcsolata

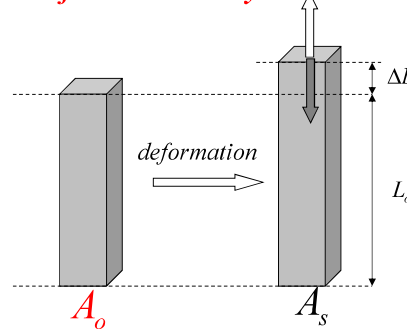


Még a kőzetek is folynak a geológiai időtartam alatt!

Egyirányú deformáció

$$\lambda = L / L_o$$

Deformációs arány



Deformáció:

$$\varepsilon = \frac{\Delta L}{L_o} = \frac{L - L_o}{L_o} = \lambda - 1$$

$$\sigma_n = \frac{f}{A_s} \text{ feszültség}$$

$$\sigma_n = \frac{f}{A_o} \text{ nominális feszültség}$$

$$\sigma_n = E \cdot \varepsilon \text{ Hooke törvény}$$

Young modulusz

Izoterm deformációnál: $\rightarrow dF = \cancel{SdT} - \cancel{pdV} + fdl$

$$f = \left(\frac{\partial F}{\partial l} \right)_{T,V}$$

$$F = U - TS$$

$$f = \left(\frac{\partial F}{\partial l} \right)_{T,V} = \left(\frac{\partial U}{\partial l} \right)_{T,V} - T \left(\frac{\partial S}{\partial l} \right)_{T,V}$$

f_U

f_S

A rugalmasan tárolt energia egyaránt származhat a belső energia- és/vagy az entrópia megváltozásából.

Mechanikai munka

$$\Delta W = f \Delta l$$

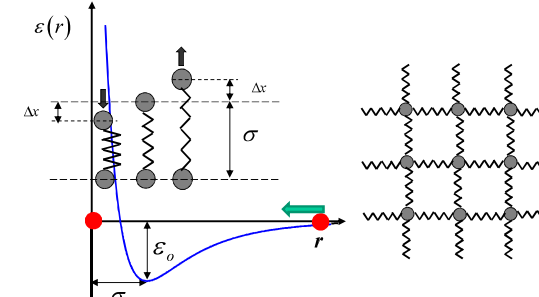
Rugalmasan tárolt energia
 F, G

Rugalmasság termodinamikája

Környezet	TD függvény	
elszigetelt	$S(U, V, n)$	$TdS = (dU + pdV)$
mechanikai p	$H(S, p, n)$ $H=U+pV$ Entalpia	$dH = TdS + Vdp$
termikus T	$F(T, V, n)$ $F=U-TS$ Szabadenergia	$dF = -SdT - pdV + fdl$ $dF_{T,V} = fdl$
mechanikai és termikus p, T	$G(T, p, n)$ $G=H-TS$ Szabadentalpia Gibbs energia	$dG = -SdT + Vdp + fdl$ $dG_{T,p} = fdl$

Az erő az energiával, vagy az entrópiával kapcsolatos?

Kristályos anyagok rugalmassága



$$\varepsilon(r) \cong \varepsilon_o + \frac{\partial \varepsilon(r)}{\partial r} (r - \sigma) + \frac{1}{2} \frac{\partial^2 \varepsilon(r)}{\partial r^2} (r - \sigma)^2 + \dots \rightarrow \sigma_n = \frac{f}{A_s}$$

$$\varepsilon(r) \cong \frac{1}{2} \frac{\partial^2 \varepsilon(r)}{\partial r^2} (r - \sigma)^2$$

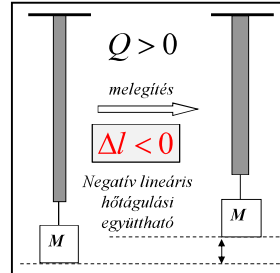
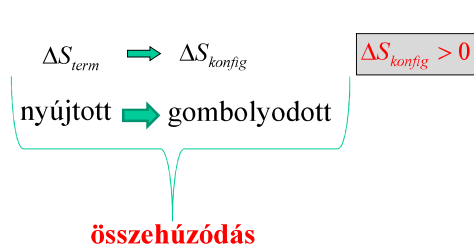
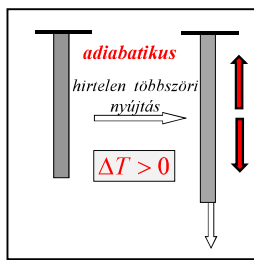
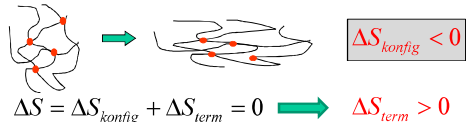
$$f(r) = \frac{d\varepsilon(r)}{dr} \cong E \cdot (r - \sigma) = E \cdot \Delta x$$

Hooke törvény

A deformáció során csak a belső energia változik: f_U $f_S = 0$

MAKROMOLEKULÁK RUGALMASSÁGA

Entrópia rugalmasság



Határozzuk meg f_s és f_u -t!

$$f = \left(\frac{\partial F}{\partial l} \right)_{T,V} = \left(\frac{\partial U}{\partial l} \right)_{T,V} - T \left(\frac{\partial S}{\partial l} \right)_{T,V}$$

$$f = f_u + f_s$$

$$\left(\frac{\partial^2 F}{\partial T \partial l} \right) = \left(\frac{\partial F}{\partial l} \right)_{T,V} = \left(\frac{\partial^2 U}{\partial T \partial l} \right) = \left(\frac{\partial U}{\partial l} \right)_{T,V} - T \left(\frac{\partial^2 S}{\partial T \partial l} \right)$$

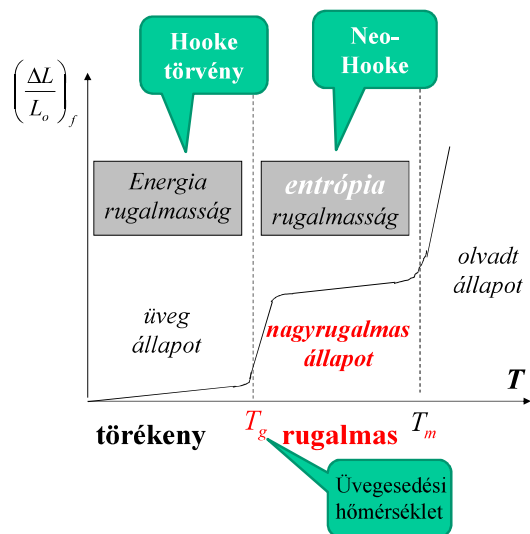
$$\left(\frac{\partial^2 F}{\partial l \partial T} \right) = \frac{\partial}{\partial T} \left(\frac{\partial F}{\partial l} \right) = \left(\frac{\partial f}{\partial T} \right)$$

$$\left(\frac{\partial f}{\partial T} \right) = - \left(\frac{\partial S}{\partial l} \right)$$

$$f = \left(\frac{\partial U}{\partial L} \right)_{T,V} + T \left(\frac{\partial f}{\partial T} \right)_{L,V} = f_u + f_s$$

Rugalmas polimereknél: $f_u \ll f_s$ $f \approx f_s$

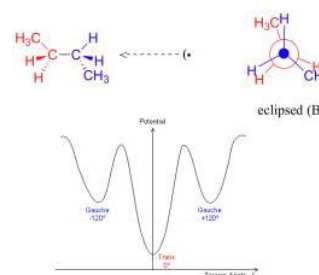
Amorf polimerek termomechanikai görbéje



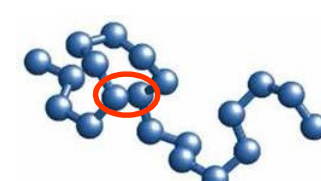
A térszerkezetet meghatározó alapvető kölcsönhatások

Makromolekulák szerkezetét kialakító kémiai kötések és molekuláris kölcsönhatások minden tekintetben egyenértékűek a kismolekulájú anyagok hasonló kémiai környezetben lévő kötéseivel és csoportjainak kölcsönhatásaival.

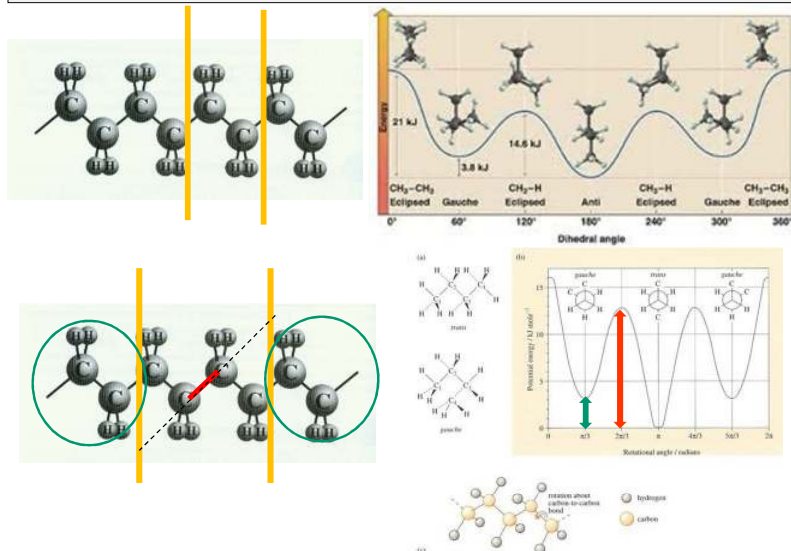
Rövidtávú kölcsönhatások



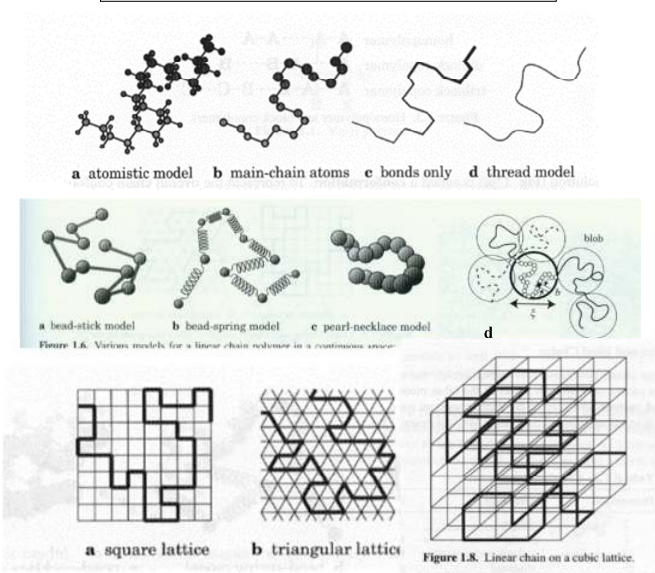
Hosszútávú kölcsönhatások



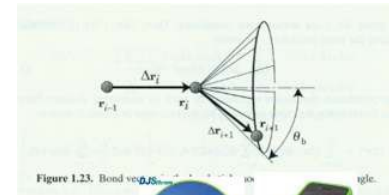
Polimerek hajlékonyságát a rövidtávú kölcsönhatások- és a termikus energia viszonya határozzák meg



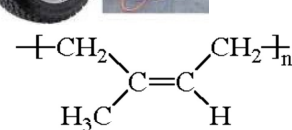
Hajlékony polimerek modelljei



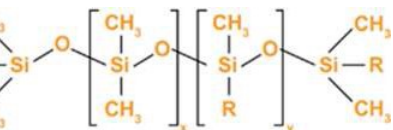
Nem minden polimer rugalmas.
Mitől függ a rugalmasság?



Hajlékony láncú polimerek



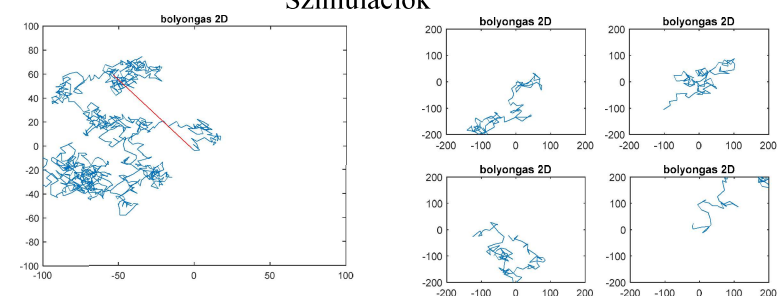
kaucsuk,
polyisoprene



szilikon gumi,
polidimetilsziloxán

A rotáló egységek közötti távolság növelése kedvez a hajlékonyságnak!

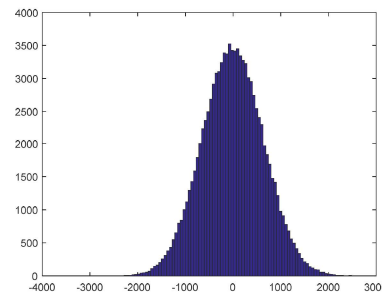
Szimulációk



$$R_o \equiv \langle r^2 \rangle^{1/2}$$

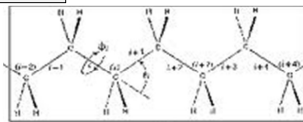
$$R_o = a_s N_s^{1/2}$$

$$p(r)$$



Rövidtávú kölcsönhatások (kémiai szerkezet)

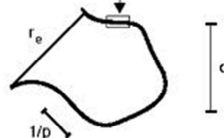
$$\text{Vegyérték szög} \rightarrow R_g = \sqrt{\frac{1 + \cos \theta}{1 - \cos \theta}} \cdot N^{1/2}$$



$$\begin{aligned} \text{Vegyérték szög} \\ + \text{Rotációs energia} \end{aligned} \rightarrow R_{g,\varphi} = \sqrt{\left(\frac{1 + \cos \theta}{1 - \cos \theta} \right) \left(1 + \langle \cos \varphi \rangle \right)} N^{1/2}$$

$$\langle \cos \varphi \rangle = \int_{-\pi}^{\pi} \cos \varphi \cdot e^{-\frac{U(\varphi)}{RT}} d\varphi$$

Ideális makromolekula



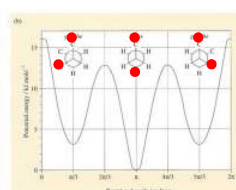
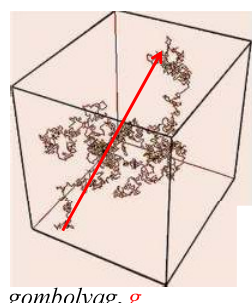
$$R_\Theta = \ell \cdot C_\infty \cdot N^{1/2} = C_\infty R_0 \quad \rightarrow \quad R_\Theta = \ell \cdot C_\infty \cdot N^{1/2} = a_s N_s^{1/2}$$

Karakteristikus arány \rightarrow Perzisztencia hossz (következő előadás)

A ***W*** termodinamikai valószínűség megadja az adott makroállapothoz tartozó mikroállapotok számát.

példa:

makroállapot: láncvégtávolság
mikroállapot: lehetséges konformációk száma



$$N_{C-C} = 10^4$$

$$W_g = 3^{10000}$$

$$S_g = k_B T \ln(3^{10000})$$

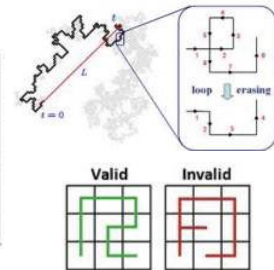
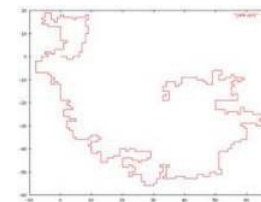
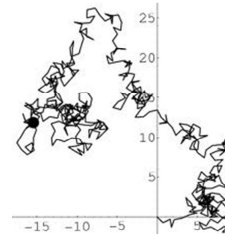
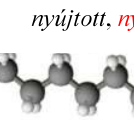
$$S = k_B \ln W$$

$$N_{C-C} = 10^4$$

$$W_{ny} = 1$$

$$S_{ny} = k_B T \ln 1$$

$$S_{ny} = 0$$

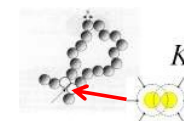


bolyongás
random walk (RW)

önelkerülő bolyongás
self avoiding walk (SAW)

$$R_0 = a_s N_s^{1/2}$$

$$R_0 = a_s N_s^{\nu} \quad \nu = 0.588 \approx 3/5$$



Kizárt térfogat hatás!

Térszerkezet és konformációss entrópia

konstitúció - konfiguráció - konformáció

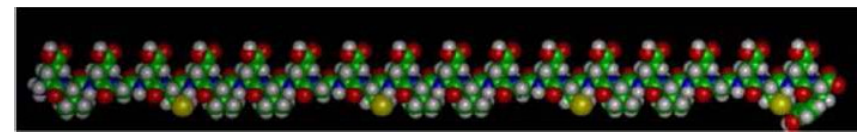


Statisztikus gumbolyag

Szabályos térszerkezet

Nagy konformációs entrópia

Jóval kisebb konformációs entrópia



$$W=1$$

$$S_{konf} = 0$$

Nyújtott lánc $\Delta S > 0$ gombolyag
Konfigurációs entrópia növekszik

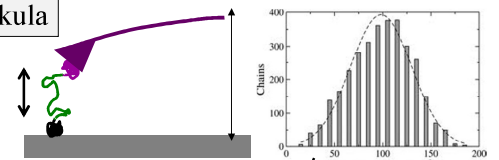
$$S = k_B \ln W$$



Ludwig Boltzmann (1844-1906)

$$p(r) \propto W \quad \rightarrow \quad s(r) = s^o + k_B \ln p(r)$$

Egyetlen ideális makromolekula



$$s(r) = s^o + k_B \ln p(r) \quad p(r) = \left(\frac{3}{2\pi R_\Theta^2} \right)^{3/2} \exp\left(-\frac{3}{2R_\Theta^2} r^2\right).$$

$$s_{\text{config}}(r) = \text{const.} - \frac{3k_B}{2R_\Theta^2} r^2$$

$$f_s = -T \left(\frac{\partial s}{\partial r} \right) \quad f_s = \frac{3k_B T}{R_\Theta^2} r \quad f_s = \frac{3k_B T}{R_\Theta} \left(\frac{r}{R_\Theta} \right)$$

Egyetlen ideális makromolekula deformációja követi a Hooke törvényt!

Hajlékonyláncú polimerek rendszereinek deformációja

$$\Delta s = s(r) - s(R_\Theta) = -\frac{3k_B}{2} \left(\frac{r}{R_\Theta} \right)^2 + \frac{3k_B}{2} \left(\frac{R_\Theta}{R_\Theta} \right)^2 = -\frac{3k_B}{2} (\lambda^2 - 1)$$

$$\Delta s = -\frac{3k_B}{2} (\lambda^2 - 1) \quad \Delta F = -T \Delta s = \frac{3k_B T}{2} (\lambda^2 - 1)$$

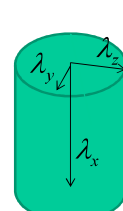
$$\nu \text{ számú lánc esetén: } \Delta F = -T \Delta s = \frac{1}{2} \nu k_B T (\lambda_x^2 + \lambda_y^2 + \lambda_z^2 - 3)$$



$$V(\lambda_x) = V_o \quad \text{constant}$$

$$\frac{L_x}{L_{o,x}} \cdot \frac{L_y}{L_{o,y}} \cdot \frac{L_z}{L_{o,z}} = \frac{V(\lambda_x)}{V_o} = 1$$

$$\lambda_x \cdot \lambda_y \cdot \lambda_z = 1$$



$$a = \frac{1}{2} G (\lambda_x^2 + \lambda_y^2 + \lambda_z^2 - 3)$$

$$\lambda_x \cdot \lambda_y \cdot \lambda_z = 1$$

$$\lambda_x \cdot \lambda_r^2 = 1 \quad \rightarrow \quad \lambda_r^2 = \frac{1}{\lambda_x}$$

$$\Delta F_{\text{def}} = \frac{1}{2} \nu k_B T (\lambda_x^2 + 2\lambda_r^2 - 3)$$

$$\Delta F_{\text{def}} = \frac{1}{2} \nu k_B T \left(\lambda_x^2 + \frac{2}{\lambda_x} - 3 \right)$$

$$f = \left(\frac{\partial \Delta F_{\text{def}}}{\partial L} \right)_{V,T} = \frac{1}{L_o} \left(\frac{\partial \Delta F_{\text{def}}}{\partial \lambda_x} \right) = \frac{1}{L_o} \nu k_B T \left(\lambda_x - \frac{1}{\lambda_x^2} \right)$$

$$L = L_o \lambda_x$$

Kontinuum mechanikai modell

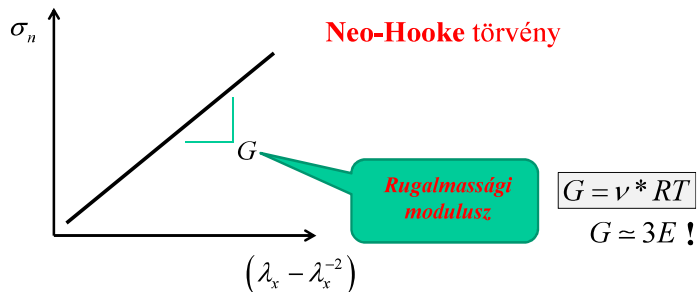
$$f = \frac{\nu k_B T}{L_o} (\lambda_x - \lambda_x^{-2})$$

$$\sigma_n = \frac{f}{A_o} \quad \longrightarrow \quad \sigma_o = \frac{f}{A_s} = \frac{\nu k_B T}{A_s L_o} (\lambda_x - \lambda_x^{-2}) = \nu^* RT (\lambda_x - \lambda_x^{-2})$$

$$\sigma_n = G (\lambda_x - \lambda_x^{-2})$$

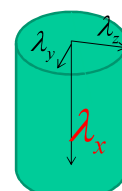
$$V_d$$

$$\nu^* = \frac{\nu}{V_d N_{Av}}$$



Rugalmasan tárolt energiasűrűség

$$a = \frac{1}{2} G (\lambda_x^2 + \lambda_y^2 + \lambda_z^2 - 3) \quad \lambda_x \cdot \lambda_y \cdot \lambda_z = 1$$

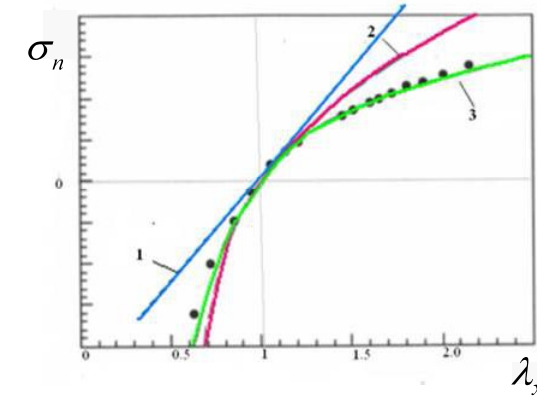
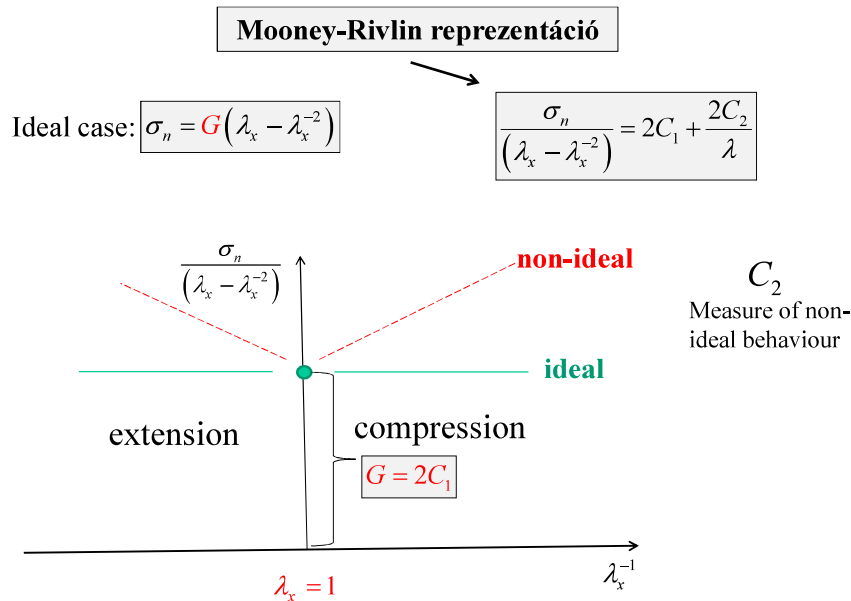


$$\lambda_y = \lambda_z = \lambda_r$$

$$\sigma_n = \left(\frac{\partial a}{\partial \lambda_x} \right)_V = G (\lambda_x - \lambda_x^{-2})$$

Molekuláris modell

$$\sigma_n = \nu^* RT (\lambda_x - \lambda_x^{-2})$$



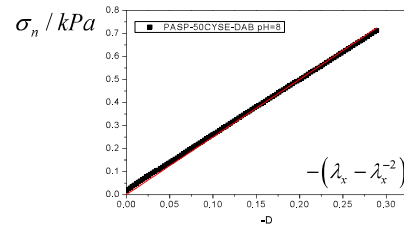
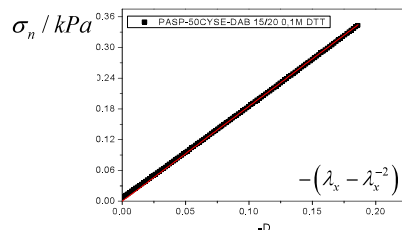
Predictions for Hooke's law(blue line), neo-Hookean solid (red line) and Mooney–Rivlin solid models(green line).

Swollen gels obey the neo-Hookean mechanical behaviour



Ideal case:

$$\sigma_n = G(\lambda_x - \lambda_x^{-2})$$



MAKROMOLEKULÁK OLDDATAI

ELEGYEDÉS HAJTÓEREJE

$$\Delta_e G = \Delta_e H - T \Delta_e S$$

$$\Delta_e G < 0$$

elegyedési hő

elegyedési entrópia

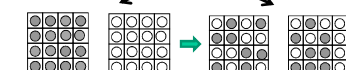
endoterm atermikus exoterm

$$\Delta_e H > 0$$

$$\Delta_e H = 0$$

$$\Delta_e H < 0$$

Molekuláris
rendezettség változása



$$\Delta_e S > 0$$

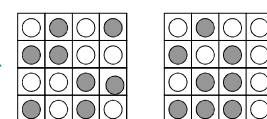
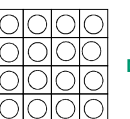
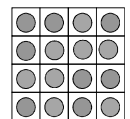
A **W** termodinamikai valószínűség megadja az adott makroállapothoz tartozó mikroállapotok számát.

1. példa:

makroállapot: koncentráció
mikroállapot: lehetséges

$$W = \frac{16!}{8!8!} = 12870$$

$$x_A = 8/16$$



$$\Delta S > 0$$

$$S = k_B \ln W$$

$$W_A = 1$$

$$W_B = 1$$

$$W_{A,B} = 12870$$

$$S_B = 0$$

$$W_{A,B} = \frac{(N_A + N_B)!}{N_A! N_B!} = \frac{16!}{8!8!} = 12870$$



Négy különböző mikroállapot a lehetséges 12870 számúból.

Miért oldódnak jobban a kismolekulájú anyagok?

$$\Delta_e G = \Delta_e H - T \Delta_e S$$

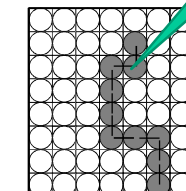
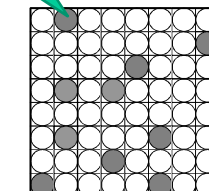
Atermikus eset: $\Delta_e G \cong -T \Delta_e S$

monomer

$$S = k_B \ln W$$

polimer

$$c = \frac{10}{64}$$



$$c = \frac{10}{64}$$

$$W_{A,B} = \frac{(N_A + N_B)!}{N_A! N_B!} = 1,51 \cdot 10^{11}$$

$$S_{A,B} = k_B \ln(1,51 \cdot 10^{11})$$

$$W_{A,B} = 64 \cdot 4 \cdot 3^8 = 6144$$

$$S_{P,A} = k_B \ln(6144)$$

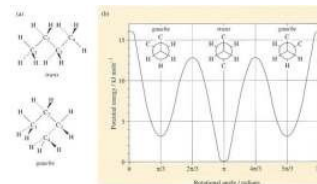
$$\Delta G_{A,B} = -k_B T \ln(1,51 \cdot 10^{11})$$

$$\Delta G_{P,A} = -k_B T \ln(6144)$$

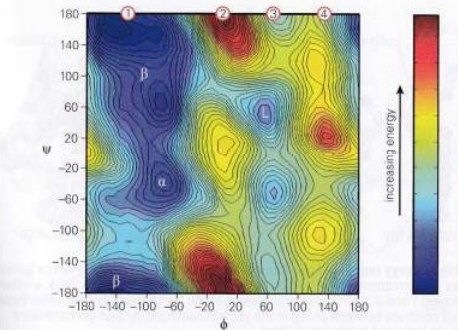
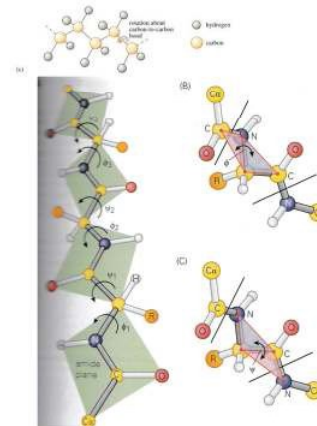
Nagyobb termodinamikai hajtóerő!

Kisebb termodinamikai hajtóerő!

Rendezett szerkezetek



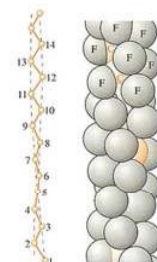
Ramachandram diagram



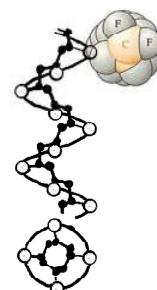
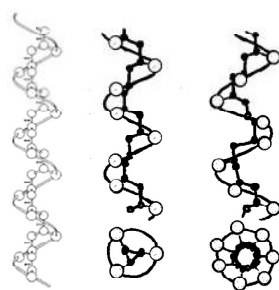
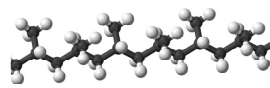
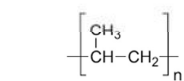
alanin dipeptid

Rendezett szerkezetek

Teflon hélix



Izotaktikus
szerkezetek
hélixei



Rendezett szerkezetek

